

Cours M2 BIM - Séance 2

Équilibre de Boltzmann et comparaison

Yann Ponty

Bioinformatics Team
École Polytechnique/CNRS/INRIA AMIB – France

25 Février 2013

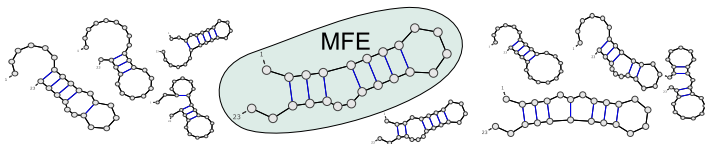
- 1 Ensemble de Boltzmann
 - Ensemble de Boltzmann
 - Nussinov : Minimisation \Rightarrow Comptage
 - Calcul de la fonction de partition
 - Échantillonnage statistique

- 2 Extensions
 - Validité d'un schéma
 - Structures sous-optimales
 - Pseudo-noeuds

L'ARN *respire* \Rightarrow Il n'existe pas UNE unique conformation native.

Nouveau paradigme

Les conformations d'un ARN **coexistent** dans une **distribution de Boltzmann**.



Conséquence : La probabilité de la MFE peut être négligeable.

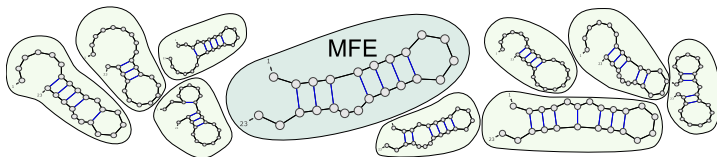
\Rightarrow Comprendre les modes d'actions de l'ARN exige de prendre en considération l'ensemble des structures.

En particulier, des structures proches peuvent se *grouper* et devenir l'hypothèse la plus réaliste dans la recherche d'une conformation fonctionnelle.

L'ARN *respire* \Rightarrow Il n'existe pas UNE unique conformation native.

Nouveau paradigme

Les conformations d'un ARN **coexistent** dans une **distribution de Boltzmann**.



Conséquence : La probabilité de la MFE peut être négligeable.

\Rightarrow Comprendre les modes d'actions de l'ARN exige de prendre en considération l'ensemble des structures.

En particulier, des structures proches peuvent se *grouper* et devenir l'hypothèse la plus réaliste dans la recherche d'une conformation fonctionnelle.

Une distribution de Boltzmann pondère chaque structure S pour un ARN ω par un **facteur de Boltzmann** $\mathcal{B}_{S,\omega} = e^{\frac{-E_{S,\omega}}{RT}}$ où :

- $E_{S,\omega}$ est l'énergie libre de S (kCal.mol⁻¹)
- T est la température (K)
- R est la constante des gaz parfaits (1.986.10⁻³ kCal.K⁻¹.mol⁻¹)

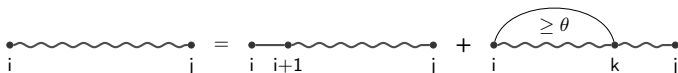
Distribution renormalisée sur \mathcal{S}_ω par la **fonction de partition**

$$\mathcal{Z}_\omega = \sum_{S \in \mathcal{S}_\omega} e^{\frac{-E_{S,\omega}}{RT}}.$$

où \mathcal{S}_ω est l'ensemble des conformations compatibles avec ω .

La **probabilité de Boltzmann** d'une structure S est alors donnée par

$$P_{S,\omega} = \frac{e^{\frac{-E_{S,\omega}}{RT}}}{\mathcal{Z}_\omega}.$$



Récurrance sur l'énergie minimale d'un repliement :

$$N_{i,t} = 0, \quad \forall t \in [i, i + \theta]$$

$$N_{i,j} = \min \begin{cases} N_{i+1,j} & (i \text{ non apparié}) \\ \min_{k=i+\theta+1}^j E_{i,k} + N_{i+1,k-1} + N_{k+1,j} & (i \text{ comp. avec } k) \end{cases}$$

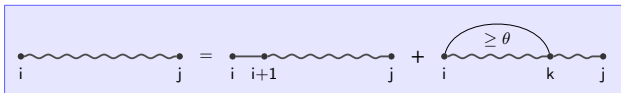
Récurrance de comptage des structures compatibles :

$$C_{i,t} = 1, \quad \forall t \in [j, i + \theta]$$

$$C_{i,j} = \sum \begin{cases} C_{i+1,j} & (i \text{ non apparié}) \\ \sum_{k=i+\theta+1}^j 1 \times C_{i+1,k-1} \times C_{k+1,j} & (i \text{ comp. avec } k) \end{cases}$$

La décomposition est importante, le reste (MFE, comptage...) suit !

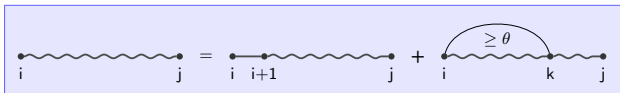
Fonction de partition = Comptage pondéré des structures compatibles



$$Z_{i,t} = 1, \quad \forall t \in [i, i + \theta]$$

$$Z_{i,j} = \sum \left\{ \begin{array}{l} Z_{i+1,j} \\ \sum_{k=i+\theta+1}^j 1 \times Z_{i+1,k-1} \times Z_{k+1,j} \end{array} \right.$$

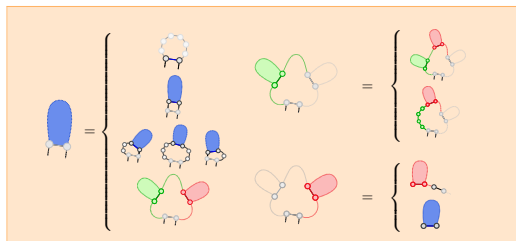
Fonction de partition = Comptage **pondéré** des structures compatibles



$$\mathcal{Z}_{i,t} = 1, \quad \forall t \in [i, i + \theta]$$

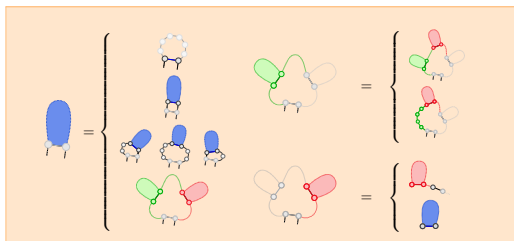
$$\mathcal{Z}_{i,j} = \sum \left\{ \begin{array}{l} \mathcal{Z}_{i+1,j} \\ \sum_{k=i+\theta+1}^j e^{\frac{-E_{bp}(i,k)}{RT}} \times \mathcal{Z}_{i+1,k-1} \times \mathcal{Z}_{k+1,j} \end{array} \right.$$

Fonction de partition = Comptage pondéré des structures compatibles



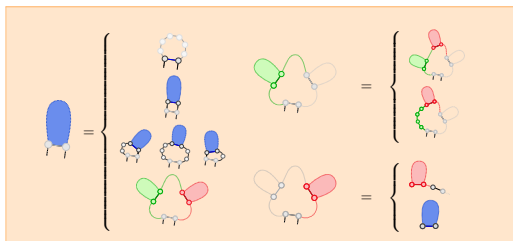
$$\begin{aligned}
 \mathcal{M}'_{i,j} &= \text{Min} \left\{ \begin{array}{l} E_H(i,j) \\ E_S(i,j) + \mathcal{M}'_{i+1,j-1} \\ \text{Min}(E_{BI}(i,i',j',j) + \mathcal{M}'_{i',j'}) \\ a + c + \text{Min}(\mathcal{M}_{i+1,k-1} + \mathcal{M}^1_{k,j-1}) \end{array} \right\} \\
 \mathcal{M}_{i,j} &= \text{Min} \left\{ \text{Min}(\mathcal{M}_{i,k-1}, b(k-1)) + \mathcal{M}^1_{k,j} \right\} \\
 \mathcal{M}^1_{i,j} &= \text{Min} \left\{ b + \mathcal{M}^1_{i,j-1}, c + \mathcal{M}'_{i,j} \right\}
 \end{aligned}$$

Fonction de partition = Comptage pondéré des structures compatibles



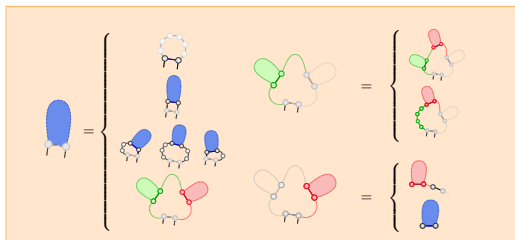
$$\begin{aligned}
 \mathcal{M}'_{ij} &= \text{Min} \left\{ \begin{array}{l} e^{\frac{-E_H(i,j)}{RT}} \\ e^{\frac{-E_S(i,j)}{RT}} + \mathcal{M}'_{i+1,j-1} \\ \text{Min} \left(e^{\frac{-E_B(i,i',j',j)}{RT}} + \mathcal{M}'_{i',j'} \right) \\ e^{\frac{-(a+c)}{RT}} + \text{Min} (\mathcal{M}_{i+1,k-1} + \mathcal{M}^1_{kj-1}) \end{array} \right. \\
 \mathcal{M}_{ij} &= \text{Min} \left\{ \text{Min} \left(\mathcal{M}_{i,k-1}, e^{\frac{-b(k-1)}{RT}} \right) + \mathcal{M}^1_{kj} \right\} \\
 \mathcal{M}^1_{ij} &= \text{Min} \left\{ e^{\frac{-b}{RT}} + \mathcal{M}^1_{i,j-1}, e^{\frac{-c}{RT}} + \mathcal{M}'_{ij} \right\}
 \end{aligned}$$

Fonction de partition = Comptage pondéré des structures compatibles



$$\begin{aligned}
 \mathcal{M}'_{i,j} &= \text{Min} \left\{ \begin{array}{l} e^{\frac{-E_H(i,j)}{RT}} \\ e^{\frac{-E_C(i,j)}{RT}} \mathcal{M}'_{i+1,j-1} \\ \text{Min} \left(e^{\frac{-E_B(i,i',j',j)}{RT}} \mathcal{M}'_{i',j'} \right) \\ e^{\frac{-(a+c)}{RT}} \text{Min} (\mathcal{M}_{i+1,k-1} \mathcal{M}^1_{k,j-1}) \end{array} \right. \\
 \mathcal{M}_{i,j} &= \text{Min} \left\{ \text{Min} \left(\mathcal{M}_{i,k-1}, e^{\frac{-b(k-1)}{RT}} \right) \mathcal{M}^1_{k,j} \right\} \\
 \mathcal{M}^1_{i,j} &= \text{Min} \left\{ e^{\frac{-b}{RT}} \mathcal{M}^1_{i,j-1}, e^{\frac{-c}{RT}} \mathcal{M}'_{i,j} \right\}
 \end{aligned}$$

Fonction de partition = Comptage pondéré des structures compatibles



$$\begin{aligned}
 \mathcal{Z}'(i, j) &= \sum \left\{ \begin{aligned} &e^{-\frac{E_H(i, j)}{RT}} \\ &e^{-\frac{E_S(i, j)}{RT}} \mathcal{Z}'(i+1, j-1) \\ &+ \sum \left(e^{-\frac{E_B(i, i', j', j)}{RT}} \mathcal{Z}'(i', j') \right) \\ &+ e^{-\frac{-(a+c)}{RT}} \sum (\mathcal{Z}(i+1, k-1) \mathcal{Z}^1(k, j-1)) \end{aligned} \right. \\
 \mathcal{Z}(i, j) &= \sum \left(\mathcal{Z}(i, k-1) + e^{-\frac{b(k-1)}{RT}} \right) \mathcal{Z}^1(k, j) \\
 \mathcal{Z}^1(i, j) &= e^{-\frac{b}{RT}} \mathcal{Z}^1(i, j-1) + e^{-\frac{c}{RT}} \mathcal{Z}'(i, j)
 \end{aligned}$$

Fonction de partition = Comptage pondéré des structures compatibles

$$\begin{aligned} \mathcal{Z}_{i,t} &= 1, \quad \forall t \in [i, i + \theta] \\ \mathcal{Z}_{i,j} &= \sum \left\{ \begin{array}{l} \mathcal{Z}_{i+1,j} \\ \sum_{k=i+\theta+1}^j e^{\frac{-E_{bp}(i,k)}{RT}} \times \mathcal{Z}_{i+1,k-1} \times \mathcal{Z}_{k+1,j} \end{array} \right. \end{aligned}$$

Validité de la fonction de partition :

- Exhaustivité/non ambiguïté du schéma

Fonction de partition = Comptage pondéré des structures compatibles

$$\mathcal{Z}_{i,t} = 1, \quad \forall t \in [i, i + \theta]$$

$$\mathcal{Z}_{i,j} = \sum \left\{ \begin{array}{l} \mathcal{Z}_{i+1,j} \\ \sum_{k=i+\theta+1}^j e^{\frac{-E_{bp}(i,k)}{RT}} \times \mathcal{Z}_{i+1,k-1} \times \mathcal{Z}_{k+1,j} \end{array} \right.$$

Validité de la fonction de partition :

- Exhaustivité/non ambiguïté du schéma
- Correction du facteur de Boltzmann

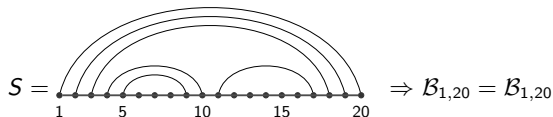
Facteur d'un backtrack = Produit des facteurs de ses parties

Contributions énergétiques passent à l'exposant

$$\left(e^{-a/RT} \cdot \mathcal{Z}^1 \cdot \mathcal{Z}' = e^{-a/RT} \cdot \sum_x e^{-E_x/RT} \cdot \sum_y e^{-E_y/RT} \right)$$

$$= \sum_{x,y} e^{-a/RT} \cdot e^{-E_x/RT} \cdot e^{-E_y/RT} = \sum_{x,y} e^{-(a+E_x+E_y)/RT}$$

Exemple :



Fonction de partition = Comptage pondéré des structures compatibles

$$\mathcal{Z}_{i,t} = 1, \quad \forall t \in [i, i + \theta]$$

$$\mathcal{Z}_{i,j} = \sum \left\{ \begin{array}{l} \mathcal{Z}_{i+1,j} \\ \sum_{k=i+\theta+1}^j e^{\frac{-E_{bp}(i,k)}{RT}} \times \mathcal{Z}_{i+1,k-1} \times \mathcal{Z}_{k+1,j} \end{array} \right.$$

Validité de la fonction de partition :

- Exhaustivité/non ambiguïté du schéma
- Correction du facteur de Boltzmann

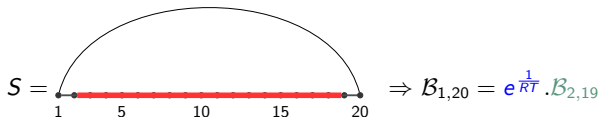
Facteur d'un backtrack = Produit des facteurs de ses parties

Contributions énergétiques passent à l'exposant

$$\left(e^{-a/RT} \cdot \mathcal{Z}^1 \cdot \mathcal{Z}' = e^{-a/RT} \cdot \sum_x e^{-E_x/RT} \cdot \sum_y e^{-E_y/RT} \right)$$

$$= \sum_{x,y} e^{-a/RT} \cdot e^{-E_x/RT} \cdot e^{-E_y/RT} = \sum_{x,y} e^{-(a+E_x+E_y)/RT}$$

Exemple :



Fonction de partition = Comptage pondéré des structures compatibles

$$\mathcal{Z}_{i,t} = 1, \quad \forall t \in [i, i + \theta]$$

$$\mathcal{Z}_{i,j} = \sum \left\{ \begin{array}{l} \mathcal{Z}_{i+1,j} \\ \sum_{k=i+\theta+1}^j e^{\frac{-E_{bp}(i,k)}{RT}} \times \mathcal{Z}_{i+1,k-1} \times \mathcal{Z}_{k+1,j} \end{array} \right.$$

Validité de la fonction de partition :

- Exhaustivité/non ambiguïté du schéma
- Correction du facteur de Boltzmann

Facteur d'un backtrack = Produit des facteurs de ses parties

Contributions énergétiques passent à l'exposant

$$\left(e^{-a/RT} \cdot \mathcal{Z}^1 \cdot \mathcal{Z}' = e^{-a/RT} \cdot \sum_x e^{-E_x/RT} \cdot \sum_y e^{-E_y/RT} \right)$$

$$= \sum_{x,y} e^{-a/RT} \cdot e^{-E_x/RT} \cdot e^{-E_y/RT} = \sum_{x,y} e^{-(a+E_x+E_y)/RT}$$

Exemple :

$S =$

$$\Rightarrow \mathcal{B}_{1,20} = e^{\frac{-1}{RT}} \cdot e^{\frac{1}{RT}} \cdot \mathcal{B}_{3,18}$$

Fonction de partition = Comptage pondéré des structures compatibles

$$\mathcal{Z}_{i,t} = 1, \quad \forall t \in [i, i + \theta]$$

$$\mathcal{Z}_{i,j} = \sum \left\{ \begin{array}{l} \mathcal{Z}_{i+1,j} \\ \sum_{k=i+\theta+1}^j e^{\frac{-E_{bp}(i,k)}{RT}} \times \mathcal{Z}_{i+1,k-1} \times \mathcal{Z}_{k+1,j} \end{array} \right.$$

Validité de la fonction de partition :

- Exhaustivité/non ambiguïté du schéma
- Correction du facteur de Boltzmann

Facteur d'un backtrack = Produit des facteurs de ses parties

Contributions énergétiques passent à l'exposant

$$\left(e^{-a/RT} \cdot \mathcal{Z}^1 \cdot \mathcal{Z}' = e^{-a/RT} \cdot \sum_x e^{-E_x/RT} \cdot \sum_y e^{-E_y/RT} \right)$$

$$= \sum_{x,y} e^{-a/RT} \cdot e^{-E_x/RT} \cdot e^{-E_y/RT} = \sum_{x,y} e^{-(a+E_x+E_y)/RT}$$

Exemple :

$S =$ $\Rightarrow \mathcal{B}_{1,20} = e^{\frac{2}{RT}} \cdot \mathcal{B}_{3,18}$

Fonction de partition = Comptage pondéré des structures compatibles

$$Z_{i,t} = 1, \quad \forall t \in [i, i + \theta]$$

$$Z_{i,j} = \sum \left\{ \begin{array}{l} Z_{i+1,j} \\ \sum_{k=i+\theta+1}^j e^{\frac{-E_{bp}(i,k)}{RT}} \times Z_{i+1,k-1} \times Z_{k+1,j} \end{array} \right.$$

Validité de la fonction de partition :

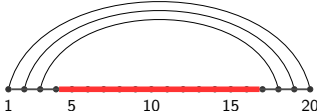
- Exhaustivité/non ambiguïté du schéma
- Correction du facteur de Boltzmann

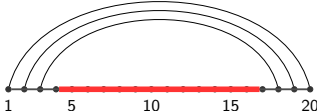
Facteur d'un backtrack = Produit des facteurs de ses parties

Contributions énergétiques passent à l'exposant

$$\begin{aligned} (e^{-a/RT} \cdot Z^1 \cdot Z') &= e^{-a/RT} \cdot \sum_x e^{-E_x/RT} \cdot \sum_y e^{-E_y/RT} \\ &= \sum_{x,y} e^{-a/RT} \cdot e^{-E_x/RT} \cdot e^{-E_y/RT} = \sum_{x,y} e^{-(a+E_x+E_y)/RT} \end{aligned}$$

Exemple :



$S =$  $\Rightarrow \mathcal{B}_{1,20} = e^{\frac{3}{RT}} \cdot \mathcal{B}_{4,17}$

Fonction de partition = Comptage pondéré des structures compatibles

$$\mathcal{Z}_{i,t} = 1, \quad \forall t \in [i, i + \theta]$$

$$\mathcal{Z}_{i,j} = \sum \left\{ \begin{array}{l} \mathcal{Z}_{i+1,j} \\ \sum_{k=i+\theta+1}^j e^{\frac{-E_{bp}(i,k)}{RT}} \times \mathcal{Z}_{i+1,k-1} \times \mathcal{Z}_{k+1,j} \end{array} \right.$$

Validité de la fonction de partition :

- Exhaustivité/non ambiguïté du schéma
- Correction du facteur de Boltzmann

Facteur d'un backtrack = Produit des facteurs de ses parties

Contributions énergétiques passent à l'exposant

$$\left(e^{-a/RT} \cdot \mathcal{Z}^1 \cdot \mathcal{Z}' = e^{-a/RT} \cdot \sum_x e^{-E_x/RT} \cdot \sum_y e^{-E_y/RT} \right)$$

$$= \sum_{x,y} e^{-a/RT} \cdot e^{-E_x/RT} \cdot e^{-E_y/RT} = \sum_{x,y} e^{-(a+E_x+E_y)/RT}$$

Exemple :

$S =$ $\Rightarrow \mathcal{B}_{1,20} = e^{\frac{4}{RT}} \cdot \mathcal{B}_{5,9} \cdot \mathcal{B}_{11,17}$

Fonction de partition = Comptage pondéré des structures compatibles

$$Z_{i,t} = 1, \quad \forall t \in [i, i + \theta]$$

$$Z_{i,j} = \sum \left\{ \begin{array}{l} Z_{i+1,j} \\ \sum_{k=i+\theta+1}^j e^{\frac{-E_{bp}(i,k)}{RT}} \times Z_{i+1,k-1} \times Z_{k+1,j} \end{array} \right.$$

Validité de la fonction de partition :

- Exhaustivité/non ambiguïté du schéma
- Correction du facteur de Boltzmann

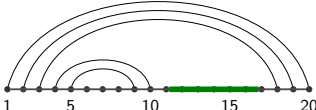
Facteur d'un backtrack = Produit des facteurs de ses parties

Contributions énergétiques passent à l'exposant

$$\left(e^{-a/RT} \cdot Z^1 \cdot Z' = e^{-a/RT} \cdot \sum_x e^{-E_x/RT} \cdot \sum_y e^{-E_y/RT} \right)$$

$$= \sum_{x,y} e^{-a/RT} \cdot e^{-E_x/RT} \cdot e^{-E_y/RT} = \sum_{x,y} e^{-(a+E_x+E_y)/RT}$$

Exemple :

$S =$  $\Rightarrow \mathcal{B}_{1,20} = e^{\frac{5}{RT}} \cdot \mathcal{B}_{11,17}$

Fonction de partition = Comptage pondéré des structures compatibles

$$\mathcal{Z}_{i,t} = 1, \quad \forall t \in [i, i + \theta]$$

$$\mathcal{Z}_{i,j} = \sum \left\{ \begin{array}{l} \mathcal{Z}_{i+1,j} \\ \sum_{k=i+\theta+1}^j e^{\frac{-E_{bp}(i,k)}{RT}} \times \mathcal{Z}_{i+1,k-1} \times \mathcal{Z}_{k+1,j} \end{array} \right.$$

Validité de la fonction de partition :

- Exhaustivité/non ambiguïté du schéma
- Correction du facteur de Boltzmann

Facteur d'un backtrack = Produit des facteurs de ses parties

Contributions énergétiques passent à l'exposant

$$\left(e^{-a/RT} \cdot \mathcal{Z}^1 \cdot \mathcal{Z}' = e^{-a/RT} \cdot \sum_x e^{-E_x/RT} \cdot \sum_y e^{-E_y/RT} \right.$$

$$\left. = \sum_{x,y} e^{-a/RT} \cdot e^{-E_x/RT} \cdot e^{-E_y/RT} = \sum_{x,y} e^{-(a+E_x+E_y)/RT} \right)$$

Exemple :

Diagram illustrating a sequence S from 1 to 20. Arcs connect points 1 to 15, 1 to 16, 1 to 17, 1 to 18, 1 to 19, 1 to 20, 5 to 10, 5 to 11, 5 to 12, 10 to 11, 10 to 12, 10 to 13, 10 to 14, 10 to 15, 10 to 16, 10 to 17, 10 to 18, 10 to 19, 10 to 20, 15 to 16, 15 to 17, 15 to 18, 15 to 19, 15 to 20. A segment from 12 to 15 is highlighted in green.

$$S = \dots \Rightarrow \mathcal{B}_{1,20} = e^{\frac{6}{RT}} \cdot \mathcal{B}_{12,16}$$

Fonction de partition = Comptage pondéré des structures compatibles

$$\mathcal{Z}_{i,t} = 1, \quad \forall t \in [i, i + \theta]$$

$$\mathcal{Z}_{i,j} = \sum \left\{ \begin{array}{l} \mathcal{Z}_{i+1,j} \\ \sum_{k=i+\theta+1}^j e^{\frac{-E_{bp}(i,k)}{RT}} \times \mathcal{Z}_{i+1,k-1} \times \mathcal{Z}_{k+1,j} \end{array} \right.$$

Validité de la fonction de partition :

- Exhaustivité/non ambiguïté du schéma
- Correction du facteur de Boltzmann

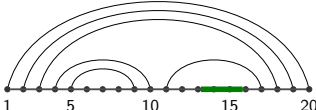
Facteur d'un backtrack = Produit des facteurs de ses parties

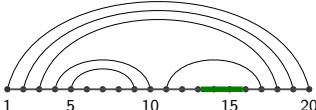
Contributions énergétiques passent à l'exposant

$$\left(e^{-a/RT} \cdot \mathcal{Z}^1 \cdot \mathcal{Z}' = e^{-a/RT} \cdot \sum_x e^{-E_x/RT} \cdot \sum_y e^{-E_y/RT} \right.$$

$$\left. = \sum_{x,y} e^{-a/RT} \cdot e^{-E_x/RT} \cdot e^{-E_y/RT} = \sum_{x,y} e^{-(a+E_x+E_y)/RT} \right)$$

Exemple :



$S =$  $\Rightarrow \mathcal{B}_{1,20} = e^{\frac{6}{RT}} \cdot \mathcal{B}_{13,16}$

Fonction de partition = Comptage pondéré des structures compatibles

$$Z_{i,t} = 1, \quad \forall t \in [i, i + \theta]$$

$$Z_{i,j} = \sum \left\{ \begin{array}{l} Z_{i+1,j} \\ \sum_{k=i+\theta+1}^j e^{\frac{-E_{bp}(i,k)}{RT}} \times Z_{i+1,k-1} \times Z_{k+1,j} \end{array} \right.$$

Validité de la fonction de partition :

- Exhaustivité/non ambiguïté du schéma
- Correction du facteur de Boltzmann

Facteur d'un backtrack = Produit des facteurs de ses parties

Contributions énergétiques passent à l'exposant

$$\begin{aligned} (e^{-a/RT} \cdot Z^1 \cdot Z') &= e^{-a/RT} \cdot \sum_x e^{-E_x/RT} \cdot \sum_y e^{-E_y/RT} \\ &= \sum_{x,y} e^{-a/RT} \cdot e^{-E_x/RT} \cdot e^{-E_y/RT} = \sum_{x,y} e^{-(a+E_x+E_y)/RT} \end{aligned}$$

Exemple :

Diagram illustrating a sequence S from 1 to 20. Arcs connect points 1 to 20, 5 to 15, 10 to 15, and 15 to 20. A green segment is highlighted between 15 and 20.

$$S = \text{Diagram} \Rightarrow \mathcal{B}_{1,20} = e^{\frac{6}{RT}} \cdot \mathcal{B}_{14,16}$$

Fonction de partition = Comptage pondéré des structures compatibles

$$\begin{aligned}
 \mathcal{Z}_{i,t} &= 1, \quad \forall t \in [i, i + \theta] \\
 \mathcal{Z}_{i,j} &= \sum \left\{ \begin{array}{l} \mathcal{Z}_{i+1,j} \\ \sum_{k=i+\theta+1}^j e^{\frac{-E_{bp}(i,k)}{RT}} \times \mathcal{Z}_{i+1,k-1} \times \mathcal{Z}_{k+1,j} \end{array} \right.
 \end{aligned}$$

Validité de la fonction de partition :

- Exhaustivité/non ambiguïté du schéma
- Correction du facteur de Boltzmann

Facteur d'un backtrack = Produit des facteurs de ses parties

Contributions énergétiques passent à l'exposant

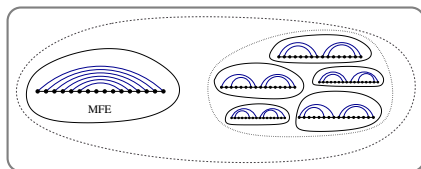
$$\begin{aligned}
 (e^{-a/RT} \cdot \mathcal{Z}^1 \cdot \mathcal{Z}' &= e^{-a/RT} \cdot \sum_x e^{-E_x/RT} \cdot \sum_y e^{-E_y/RT} \\
 &= \sum_{x,y} e^{-a/RT} \cdot e^{-E_x/RT} \cdot e^{-E_y/RT} = \sum_{x,y} e^{-(a+E_x+E_y)/RT})
 \end{aligned}$$

Exemple :

$S =$
 $\Rightarrow \mathcal{B}_{1,20} = e^{\frac{6}{RT}} = e^{\frac{-E_S}{RT}}$

La MFE (Probabilité maximale) peut être **largement dominée** par un ensemble \mathcal{B} de sous-optimaux **structurellement similaires**.

⇒ Conformation fonctionnelle trouvée plus probablement dans \mathcal{B} .



Expérience : [DCL05]

- Échantillonner des structures selon une probabilité de Boltzmann
- Effectuer un clustering
- Construire structure consensus dans le plus lourd cluster

⇒ Amélioration relative pour spécificité (+17.6%) et sensibilité (+21.74%, sauf Introns du groupe II)

Problème

Comment engendrer des structures dans la distribution de Boltzmann ?

Algorithme (Reformulation SFold [DL03])

Précalcul : Calculer les matrices (\mathcal{Z} , \mathcal{Z}' , \mathcal{Z}^1) des fonctions de partition.

Remontée stochastique :

$$\mathcal{Z}'(i,j) \stackrel{=}{=} \boxed{???} \begin{cases} \rightarrow e^{\frac{-E_H(i,j)}{RT}} + e^{\frac{-E_S(i,j)}{RT}} \mathcal{Z}'(i+1, j-1) & \text{A} \\ \rightarrow \sum \left(e^{\frac{-E_{BJ}(i,i',j',j)}{RT}} \mathcal{Z}'(i',j') \right) & \text{B} \\ \rightarrow e^{\frac{-(a+c)}{RT}} \sum (\mathcal{Z}(i+1, k-1) \mathcal{Z}^1(k, j-1)) & \text{C} \end{cases}$$

Algorithme (Reformulation SFo1d [DL03])

Précalcul : Calculer les matrices (\mathcal{Z} , \mathcal{Z}' , \mathcal{Z}^1) des fonctions de partition.

Remontée stochastique :

- ➊ Générer un nombre aléatoire r dans $[0, \mathcal{Z}'(i, j))$

$$\mathcal{Z}'(i, j) = \sum \left\{ \begin{array}{l} e^{-\frac{E_H(i, j)}{RT}} + e^{-\frac{E_S(i, j)}{RT}} \mathcal{Z}'(i + 1, j - 1) \quad \text{A} \\ \sum \left(e^{-\frac{E_{Bl}(i, i', j', j)}{RT}} \mathcal{Z}'(i', j') \right) \quad \text{B} \\ e^{-\frac{-(a+c)}{RT}} \sum (\mathcal{Z}(i + 1, k - 1) \mathcal{Z}^1(k, j - 1)) \quad \text{C} \end{array} \right.$$

Algorithme (Reformulation SFo1d [DL03])

Précalcul : Calculer les matrices (\mathcal{Z} , \mathcal{Z}' , \mathcal{Z}^1) des fonctions de partition.

Remontée stochastique :

- 1 Générer un nombre aléatoire r dans $[0, \mathcal{Z}'(i, j))$

$$\mathcal{Z}'(i, j) = \sum \left\{ \begin{array}{ll} e^{-\frac{E_H(i, j)}{RT}} + e^{-\frac{E_S(i, j)}{RT}} \mathcal{Z}'(i+1, j-1) & \text{A} \\ \sum \left(e^{-\frac{E_{BI}(i, i', j', j)}{RT}} \mathcal{Z}'(i', j') \right) & \text{B} \\ e^{-\frac{(a+c)}{RT}} \sum (\mathcal{Z}(i+1, k-1) \mathcal{Z}^1(k, j-1)) & \text{C} \end{array} \right.$$

Algorithme (Reformulation SFo1d [DL03])

Précalcul : Calculer les matrices (\mathcal{Z} , \mathcal{Z}' , \mathcal{Z}^1) des fonctions de partition.

Remontée stochastique :

- ① Générer un nombre aléatoire r dans $[0, \mathcal{Z}'(i, j))$
- ② Retirer à r les contributions à $\mathcal{Z}'(i, j)$, jusqu'à ce que $r < 0$

$$\mathcal{Z}'(i, j) = \sum \left\{ \begin{array}{ll} e^{-\frac{E_H(i, j)}{RT}} + e^{-\frac{E_S(i, j)}{RT}} \mathcal{Z}'(i+1, j-1) & \text{A} \\ \sum \left(e^{-\frac{E_{BI}(i, i', j', j)}{RT}} \mathcal{Z}'(i', j') \right) & \text{B} \\ e^{-\frac{(a+c)}{RT}} \sum (\mathcal{Z}(i+1, k-1) \mathcal{Z}^1(k, j-1)) & \text{C} \end{array} \right.$$

Algorithme (Reformulation SFo1d [DL03])

Précalcul : Calculer les matrices (\mathcal{Z} , \mathcal{Z}' , \mathcal{Z}^1) des fonctions de partition.

Remontée stochastique :

- ① Générer un nombre aléatoire r dans $[0, \mathcal{Z}'(i, j))$
- ② Retirer à r les contributions à $\mathcal{Z}'(i, j)$, jusqu'à ce que $r < 0$

$$\mathcal{Z}'(i, j) = \sum \left\{ \begin{array}{ll} e^{-\frac{E_H(i,j)}{RT}} + e^{-\frac{E_S(i,j)}{RT}} \mathcal{Z}'(i+1, j-1) & \text{A} \\ \sum \left(e^{-\frac{E_{BI}(i,i',j',j)}{RT}} \mathcal{Z}'(i', j') \right) & \text{B} \\ e^{-\frac{(a+c)}{RT}} \sum (\mathcal{Z}(i+1, k-1) \mathcal{Z}^1(k, j-1)) & \text{C} \end{array} \right.$$

Algorithme (Reformulation SFo1d [DL03])

Précalcul : Calculer les matrices (\mathcal{Z} , \mathcal{Z}' , \mathcal{Z}^1) des fonctions de partition.

Remontée stochastique :

- 1 Générer un nombre aléatoire r dans $[0, \mathcal{Z}'(i, j))$
- 2 Retirer à r les contributions à $\mathcal{Z}'(i, j)$, jusqu'à ce que $r < 0$

$$\mathcal{Z}'(i, j) = \sum \left\{ \begin{array}{ll} e^{-\frac{E_H(i,j)}{RT}} + e^{-\frac{E_S(i,j)}{RT}} \mathcal{Z}'(i+1, j-1) & \text{A} \\ \sum \left(e^{-\frac{E_{BI}(i,i',j',j)}{RT}} \mathcal{Z}'(i', j') \right) & \text{B} \\ e^{-\frac{(a+c)}{RT}} \sum (\mathcal{Z}(i+1, k-1) \mathcal{Z}^1(k, j-1)) & \text{C} \end{array} \right.$$

The diagram shows a sequence of states: $A_1, A_2, B_i, B_{i+1}, \dots, B_{j-1}, B_j, C_i, C_{i+1}, \dots, C_{j-1}, C_j$. A box labeled r is positioned above C_i with a downward arrow pointing to it. Curved arrows connect A_1 to A_2 , A_2 to B_i , B_i to B_{i+1} , and B_{i+1} to B_{j-1} . A dashed arrow connects B_{j-1} to C_i .

Algorithme (Reformulation SFo1d [DL03])

Précalcul : Calculer les matrices (\mathcal{Z} , \mathcal{Z}' , \mathcal{Z}^1) des fonctions de partition.

Remontée stochastique :

- ① Générer un nombre aléatoire r dans $[0, \mathcal{Z}'(i, j))$
- ② Retirer à r les contributions à $\mathcal{Z}'(i, j)$, jusqu'à ce que $r < 0$

$$\mathcal{Z}'(i, j) = \sum \left\{ \begin{array}{ll} e^{-\frac{E_H(i,j)}{RT}} + e^{-\frac{E_S(i,j)}{RT}} \mathcal{Z}'(i+1, j-1) & \text{A} \\ \sum \left(e^{-\frac{E_{BI}(i,i',j',j)}{RT}} \mathcal{Z}'(i', j') \right) & \text{B} \\ e^{-\frac{(a+c)}{RT}} \sum (\mathcal{Z}(i+1, k-1) \mathcal{Z}^1(k, j-1)) & \text{C} \end{array} \right.$$

Algorithme (Reformulation SFo1d [DL03])

Précalcul : Calculer les matrices $(\mathcal{Z}, \mathcal{Z}', \mathcal{Z}^1)$ des fonctions de partition.

Remontée stochastique :

- ① Générer un nombre aléatoire r dans $[0, \mathcal{Z}'(i, j))$
- ② Retirer à r les contributions à $\mathcal{Z}'(i, j)$, jusqu'à ce que $r < 0$
- ③ Répéter sur les sous-structures

$$\mathcal{Z}'(i, j) = \sum \left\{ \begin{array}{l} e^{-\frac{E_H(i, j)}{RT}} + e^{-\frac{E_S(i, j)}{RT}} \mathcal{Z}'(i+1, j-1) \quad \textcircled{A} \\ \sum \left(e^{-\frac{E_{Bj}(i, i', j', j)}{RT}} \mathcal{Z}'(i', j') \right) \quad \textcircled{B} \\ e^{-\frac{-(a+c)}{RT}} \sum (\mathcal{Z}(i+1, k-1) \mathcal{Z}^1(k, j-1)) \quad \textcircled{C} \end{array} \right.$$

Correction : Chaque terme de la décomposition engendre $\mathcal{T} \in \{\mathcal{A}_1, \dots, \mathcal{C}_j\}$, et est choisi selon son facteur de Boltzmann cumulé $\mathcal{B}(\mathcal{T})/\mathcal{Z} = \sum_{S \in \mathcal{T}} e^{-E/RT} / \mathcal{Z}$ (Par récurrence).

Chaque structure $S \in \mathcal{S}_w$ est engendrée uniquement (Unambiguïté de Turner) par une séquence de choix d'ensembles $\mathcal{S}_w \supset E_1 \supset E_2 \supset \dots \supset \{S\}$.

La probabilité d'engendrer S est donc $p_S = \frac{\mathcal{B}(E_1)}{\mathcal{B}(\mathcal{S}_w)} \cdot \frac{\mathcal{B}(E_2)}{\mathcal{B}(E_1)} \cdot \frac{\mathcal{B}(E_3)}{\mathcal{B}(E_2)} \cdots \frac{\mathcal{B}(\{S\})}{\mathcal{B}(E_m)}$

Algorithme (Reformulation SFo1d [DL03])

Précalcul : Calculer les matrices $(\mathcal{Z}, \mathcal{Z}', \mathcal{Z}^1)$ des fonctions de partition.

Remontée stochastique :

- ① Générer un nombre aléatoire r dans $[0, \mathcal{Z}'(i, j))$
- ② Retirer à r les contributions à $\mathcal{Z}'(i, j)$, jusqu'à ce que $r < 0$
- ③ Répéter sur les sous-structures

$$\mathcal{Z}'(i, j) = \sum \left\{ \begin{array}{l} e^{-\frac{E_H(i, j)}{RT}} + e^{-\frac{E_S(i, j)}{RT}} \mathcal{Z}'(i+1, j-1) \quad \text{A} \\ \sum \left(e^{-\frac{E_{Bj}(i, i', j', j)}{RT}} \mathcal{Z}'(i', j') \right) \quad \text{B} \\ e^{-\frac{(a+c)}{RT}} \sum (\mathcal{Z}(i+1, k-1) \mathcal{Z}^1(k, j-1)) \quad \text{C} \end{array} \right.$$

Correction : Chaque terme de la décomposition engendre $\mathcal{T} \in \{\mathcal{A}_1, \dots, \mathcal{C}_j\}$, et est choisi selon son facteur de Boltzmann cumulé $\mathcal{B}(\mathcal{T})/\mathcal{Z} = \sum_{S \in \mathcal{T}} e^{-E/RT} / \mathcal{Z}$ (Par récurrence).

Chaque structure $S \in \mathcal{S}_w$ est engendrée uniquement (Unambiguïté de Turner) par une séquence de choix d'ensembles $\mathcal{S}_w \supset E_1 \supset E_2 \supset \dots \supset \{S\}$.

La probabilité d'engendrer S est donc $p_S = \frac{1}{\mathcal{B}(\mathcal{S}_w)} \cdot \frac{1}{1} \cdot \frac{1}{1} \cdots \frac{\mathcal{B}(\{S\})}{1}$

Algorithme (Reformulation SFo1d [DL03])

Précalcul : Calculer les matrices $(\mathcal{Z}, \mathcal{Z}', \mathcal{Z}^1)$ des fonctions de partition.

Remontée stochastique :

- 1 Générer un nombre aléatoire r dans $[0, \mathcal{Z}'(i, j))$
- 2 Retirer à r les contributions à $\mathcal{Z}'(i, j)$, jusqu'à ce que $r < 0$
- 3 Répéter sur les sous-structures

$$\mathcal{Z}'(i, j) = \sum \left\{ \begin{array}{l} e^{-\frac{E_H(i, j)}{RT}} + e^{-\frac{E_S(i, j)}{RT}} \mathcal{Z}'(i+1, j-1) \quad \text{A} \\ \sum \left(e^{-\frac{E_{BJ}(i, i', j', j)}{RT}} \mathcal{Z}'(i', j') \right) \quad \text{B} \\ e^{-\frac{-(a+c)}{RT}} \sum (\mathcal{Z}(i+1, k-1) \mathcal{Z}^1(k, j-1)) \quad \text{C} \end{array} \right.$$

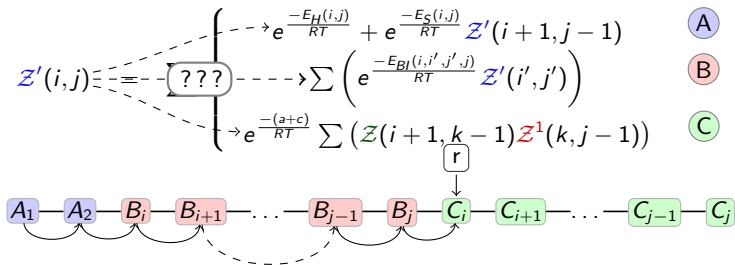
Correction : Chaque terme de la décomposition engendre $\mathcal{T} \in \{\mathcal{A}_1, \dots, \mathcal{C}_j\}$, et est choisi selon son facteur de Boltzmann cumulé $\mathcal{B}(\mathcal{T})/\mathcal{Z} = \sum_{S \in \mathcal{T}} e^{-E/RT} / \mathcal{Z}$ (Par récurrence).

Chaque structure $S \in \mathcal{S}_\omega$ est engendrée uniquement (Unambiguïté de Turner) par une séquence de choix d'ensembles $\mathcal{S}_\omega \supset E_1 \supset E_2 \supset \dots \supset \{S\}$.

La probabilité d'engendrer S est donc $p_S = \frac{\mathcal{B}(\{S\})}{\mathcal{B}(\mathcal{S}_\omega)} = \frac{e^{-E_S/RT}}{\mathcal{Z}} = P_{S, \omega}$

Algorithme (Reformulation SFold [DL03])

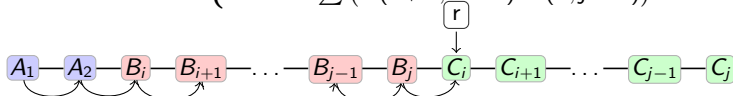
- 1 Générer un nombre aléatoire r dans $[0, \mathcal{Z}'(i, j))$
- 2 Retirer à r les contributions à $\mathcal{Z}'(i, j)$, jusqu'à ce que $r < 0$
- 3 Répéter sur les sous-structures



Algorithme (Reformulation SFold [DL03])

- 1 Générer un nombre aléatoire r dans $[0, \mathcal{Z}'(i, j))$
- 2 Retirer à r les contributions à $\mathcal{Z}'(i, j)$, jusqu'à ce que $r < 0$
- 3 Répéter sur les sous-structures

$$\mathcal{Z}'(i, j) = \sum \left\{ \begin{array}{l} e^{-\frac{E_H(i, j)}{RT}} + e^{-\frac{E_S(i, j)}{RT}} \mathcal{Z}'(i+1, j-1) \quad \text{A} \\ \sum \left(e^{-\frac{E_{BL}(i, i', j', j)}{RT}} \mathcal{Z}'(i', j') \right) \quad \text{B} \\ e^{-\frac{(a+c)}{RT}} \sum (\mathcal{Z}(i+1, k-1) \mathcal{Z}^1(k, j-1)) \quad \text{C} \end{array} \right.$$



Après $\Theta(n)$ opérations, on réitère sur un interval de taille $n - 1$
 \Rightarrow Complexité du cas au pire en $\mathcal{O}(n^2 k)$ pour k échantillons

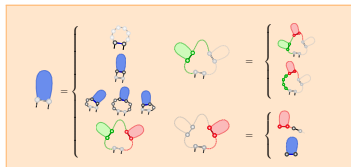
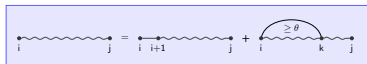
Remarque : Instance pondérée d'un problème de génération aléatoire par la méthode *réursive* [Pon08].

Complexité en moyenne en $\Theta(n\sqrt{n})$ dans l'hypothèse **tout appariement**.
 Adaptation d'un parcours **Boustrophedon** $\Rightarrow \mathcal{O}(n \log nk)$ au pire.

Une preuve de correction possible :

Calcul correct localement

- + Toutes les conformations sont parcourues
- ⇒ Algorithme correct (Induction)



Forte certitude **mais** pas encore preuve (Séries génératrices).

Une preuve de correction possible :

Calcul correct localement

+ Toutes les conformations sont parcourues

⇒ Algorithme correct (Induction)

$$C_{i,t} = 1, \quad \forall t \in [i, i + \theta]$$

$$C_{i,j} = \sum \left\{ \begin{array}{l} C_{i+1,j} \\ \sum_{k=i+\theta+1}^j 1 \times C_{i+1,k-1} \times C_{k+1,j} \end{array} \right.$$

Homopolymère (Toute paire autorisée) + $\theta = 1$
 ⇒ $C_{1,n} = 1, 1, 1, 2, 4, 8, 17, 32, 82, 185, 423, \dots$



$$C'_{i,j} = \sum \left\{ \begin{array}{l} 1 \\ C'^{i+1,j-1} \\ \sum_{j',j''} C'^{i',j''} \\ \sum_k C_{i+1,k-1} \times C^1_{k,j-1} \end{array} \right.$$

$$C_{i,j} = \sum_k \left((C_{i,k-1} + 1) \times C^1_{k,j} \right)$$

$$C^1_{i,j} = C^1_{i,j-1} + C'_{i,j}$$

Homopolymère + $\theta = 1$
 ⇒ $C^1_{1,n} = 0, 1, 1, 2, 4, 8, 17, 32, 82, 185, 423, \dots$

Forte certitude **mais** pas encore preuve (Séries génératrices).

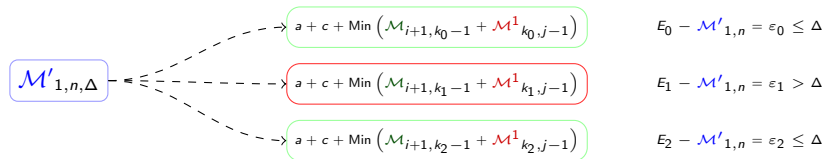
Prob. : Simplifications de l'énergie (Pseudo-noeuds, non-can.)

⇒ La structure **native** (fonctionnelle) pourrait être **ignorée**.

⇒ **Engendrer des repliements sous-optimaux** (RNASubopt [WFHS99]),

i.e. construire toutes les structures à Δ KCal.mol⁻¹ de la MFE :

- Calculer la matrice des énergies minimales
- **Effectuer un Backtrack sur toutes les contributions à $\leq \Delta$ de la MFE**

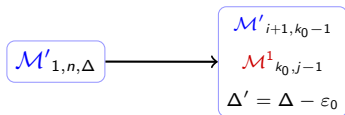


Prob. : Simplifications de l'énergie (Pseudo-noeuds, non-can.)

⇒ La structure **native** (fonctionnelle) pourrait être **ignorée**.

⇒ **Engendrer des repliements sous-optimaux** (RNASubopt [WFHS99]),
i.e. construire toutes les structures à Δ KCal.mol⁻¹ de la MFE :

- Calculer la matrice des énergies minimales
- Effectuer un Backtrack sur toutes les contributions à $\leq \Delta$ de la MFE
- **Mettre à jour Δ t.q. les futurs backtracks donnent ≥ 1 struct.**

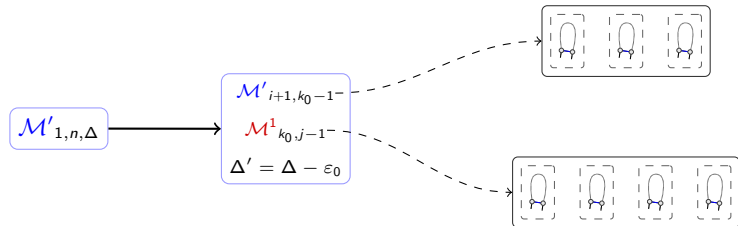


Prob. : Simplifications de l'énergie (Pseudo-noeuds, non-can.)

⇒ La structure **native** (fonctionnelle) pourrait être **ignorée**.

⇒ **Engendrer des repliements sous-optimaux** (RNASubopt [WFHS99]),
i.e. construire toutes les structures à Δ KCal.mol⁻¹ de la MFE :

- Calculer la matrice des énergies minimales
- Effectuer un Backtrack sur toutes les contributions à $\leq \Delta$ de la MFE
- Mettre à jour Δ t.q. les futurs backtracks donnent ≥ 1 struct.
- **Engendrer (Rec.) les sous-ensembles et combiner (brutal ou Tri)**

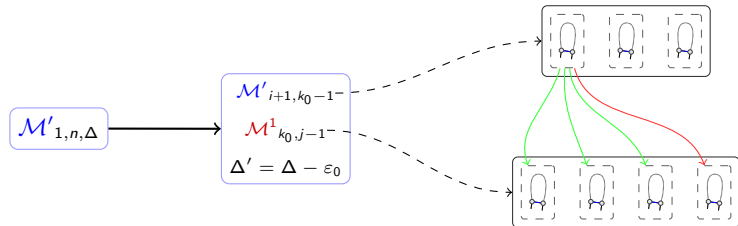


Prob. : Simplifications de l'énergie (Pseudo-noeuds, non-can.)

⇒ La structure **native** (fonctionnelle) pourrait être **ignorée**.

⇒ **Engendrer des repliements sous-optimaux** (RNASubopt [WFHS99]),
i.e. construire toutes les structures à Δ KCal.mol⁻¹ de la MFE :

- Calculer la matrice des énergies minimales
- Effectuer un Backtrack sur toutes les contributions à $\leq \Delta$ de la MFE
- Mettre à jour Δ t.q. les futurs backtracks donnent ≥ 1 struct.
- **Engendrer (Rec.) les sous-ensembles et combiner (brutal ou Tri)**

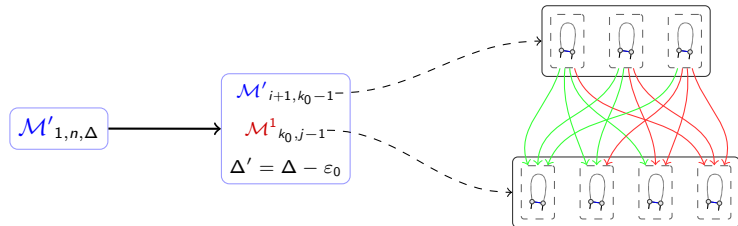


Prob. : Simplifications de l'énergie (Pseudo-noeuds, non-can.)

⇒ La structure **native** (fonctionnelle) pourrait être **ignorée**.

⇒ **Engendrer des repliements sous-optimaux** (RNASubopt [WFHS99]),
i.e. construire toutes les structures à Δ KCal.mol⁻¹ de la MFE :

- Calculer la matrice des énergies minimales
- Effectuer un Backtrack sur toutes les contributions à $\leq \Delta$ de la MFE
- Mettre à jour Δ t.q. les futurs backtracks donnent ≥ 1 struct.
- **Engendrer (Rec.) les sous-ensembles et combiner (brutal ou Tri)**



Prob. : Simplifications de l'énergie (Pseudo-noeuds, non-can.)

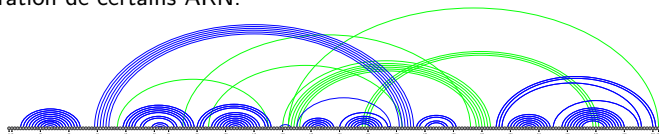
⇒ La structure **native** (fonctionnelle) pourrait être **ignorée**.

⇒ **Engendrer des repliements sous-optimaux** (RNASubopt [WFHS99]),
i.e. construire toutes les structures à Δ KCal.mol⁻¹ de la MFE :

- Calculer la matrice des énergies minimales
- Effectuer un Backtrack sur toutes les contributions à $\leq \Delta$ de la MFE
- Mettre à jour Δ t.q. les futurs backtracks donnent ≥ 1 struct.
- Engendrer (Rec.) les sous-ensembles et combiner (**brutal** ou **Tri**)

⇒ Complexité en temps (**Tri**) : $\mathcal{O}(n^3 + nk \log(k))$
(k croît exponentiellement sur Δ !)

Les pseudo-noeuds (et vrais noeuds) sont des constituants essentiels à la structuration de certains ARN.

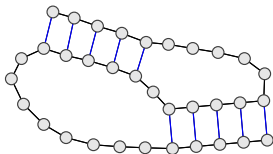


Ribozyme du groupe I

Leur absence historique au sein algorithmes de repliment est liée à la difficulté algorithmique des problèmes associés.
(Présence de croisements interdit une hypothèse d'indépendance des repliments).

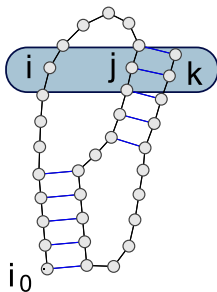
Type	Complexité	Référence
Structures secondaires	$\mathcal{O}(n^3)$	[MSZT99]
L&P	$\mathcal{O}(n^5)$	[LP00]
D&P	$\mathcal{O}(n^5)$	[DP03]
A&U	$\mathcal{O}(n^5)$	[Aku00]
R&E	$\mathcal{O}(n^6)$	[RE99]
Généraux	NP-complet	[LP00]

But : Capturer des catégorie de pseudo-noeuds *simples*, mais très représentés.



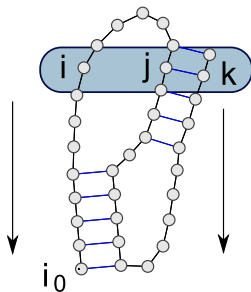
Idée : Quand on *retourne* ce type de pseudonoeuds, il suffit de précalculer les meilleures configurations *en dessous* d'un triplet (i, j, k) pour obtenir son énergie minimale.

But : Capturer des catégorie de pseudo-noeuds *simples*, mais très représentés.

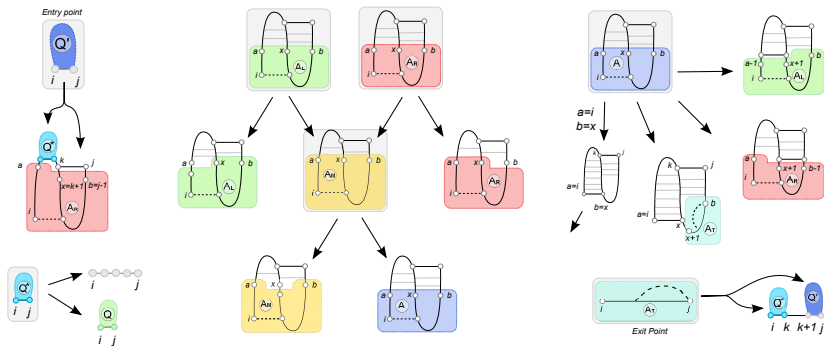


Idée : Quand on *retourne* ce type de pseudonoeuds, il suffit de précalculer les meilleures configurations *en dessous* d'un triplet (i, j, k) pour obtenir son énergie minimale.

But : Capturer des catégories de pseudo-nœuds *simples*, mais très représentés.



Idée : Quand on *retourne* ce type de pseudonœuds, il suffit de précalculer les meilleures configurations *en dessous* d'un triplet (i, j, k) pour obtenir son énergie minimale.



Application/Problème	Weight fun.	Time/Space	Ref.
Minimisation d'énergie	π_{bp}	$\mathcal{O}(n^4)/\mathcal{O}(n^4)$	[Aku00]
Fonction de partition	$e^{-\frac{\pi_{bp}}{RT}}$	$\mathcal{O}(n^4)/\mathcal{O}(n^4)$	$\Theta(n^6)$ [CC09]
Probabilité de paires de bases	$e^{-\frac{\pi_{bp}}{RT}}$	$\mathcal{O}(n^4)/\mathcal{O}(n^4)$	-
Échantillonnage (k -struct.)	$e^{-\frac{\pi_{bp}}{RT}}$	$\mathcal{O}(n^4 + kn \log n)/\mathcal{O}(n^4)$	-

Exercice : Ecrire l'équation de programmation dynamique associée pour le repliement, le comptage et la fonction de partition.



Tatsuya Akutsu.

Dynamic programming algorithms for rna secondary structure prediction with pseudoknots.
Discrete Appl. Math., 104(1-3) :45–62, 2000.



S. Cao and S-J Chen.

Predicting structured and stabilities for h-type pseudoknots with interhelix loop.
RNA, 15 :696–706, 2009.



Y. Ding, C. Y. Chan, and C. E. Lawrence.

RNA secondary structure prediction by centroids in a boltzmann weighted ensemble.
RNA, 11 :1157–1166, 2005.



Y. Ding and E. Lawrence.

A statistical sampling algorithm for RNA secondary structure prediction.
Nucleic Acids Research, 31(24) :7280–7301, 2003.



Robert M Dirks and Niles A Pierce.

A partition function algorithm for nucleic acid secondary structure including pseudoknots.
J Comput Chem, 24(13) :1664–1677, Oct 2003.



R. B. Lyngsø and C. N. S. Pedersen.

RNA pseudoknot prediction in energy-based models.
Journal of Computational Biology, 7(3-4) :409–427, 2000.



D.H. Mathews, J. Sabina, M. Zuker, and D.H. Turner.

Expanded sequence dependence of thermodynamic parameters improves prediction of RNA secondary structure.
J Mol Biol, 288 :911–940, 1999.



Y. Ponty.

Efficient sampling of RNA secondary structures from the boltzmann ensemble of low-energy : The boustrophedon method.
Journal of Mathematical Biology, 56(1-2) :107–127, Jan 2008.



E. Rivas and S.R. Eddy.

A dynamic programming algorithm for RNA structure prediction including pseudoknots.

J Mol Biol, 285 :2053–2068, 1999.



S. Wuchty, W. Fontana, I.L. Hofacker, and P. Schuster.

Complete suboptimal folding of RNA and the stability of secondary structures.

Biopolymers, 49 :145–164, 1999.